

III-4 プリスプリッティング爆破工法におけるき裂の制止機構

京都大学大学院学生 正員 ○浅井達雄*
京都大学工学部 花崎祐一
京都大学工学部 正員 佐々木一
京都大学工学部 伊藤一郎

1. 緒言

現在コンクリート構造物の解体作業には、スチーレボーラーやブレーカーなどが用いられている場合が多いが、前者は局所的破壊には不適であるとともに振動が大きく、後者は騒音が大きいなどしくさらにやがりの期間を要する。そこで近年、火薬類を用いて最初にコンクリート構造物を破壊する方法が検討されるようになってきた。その方法の一として、いわゆるソフトな火薬を用いて目的を達成する特殊爆破工法がある。また、トンネル掘進において爆破工法を適用した場合のオーバーブレーク(余掘り)を防止することは、トンネル完成後の地山岩盤を堅固に保持し、他方、コンクリート覆工時に必要なコンクリートの量を低下させるという点で重要なことである。このように場合にも特殊爆破工法が用いられる。特殊爆破工法の一種であるプリスプリッティング爆破工法は切削予定面(破壊しようとしている部分と、破壊せずに残しておく部分との境界面を切削予定面、切削予定面が自由面と交わってできる線を切削予定線と呼ぶことにする)に沿ってき裂(プリスプリット)を入れる作業(プリスプリッティング)とそれにひきつづいて行われる爆破(本爆破)との2つの段階をもつ。プリスプリッティング爆破工法は本爆破に起因する振動を低減させるという効果と、本爆破によって発生するき裂をプリスプリットにおいて制止するという効果とを有するものと考えられている。今回は、本爆破にソフトな火薬類を用いた場合のように準静的応力によって破壊が達成される場合について、ヒビにプリスプリットを引上する機構について検討を行なったので、その結果の一部を報告する。

2. 解析条件および結果

プリスプリッティングにおいては、切削予定面内に並行穿孔を行なって装薬孔列をつくって爆破する工法がとられる。この場合、各爆破孔を十分密に配列して、ダイナマイトのような爆薬を用いれば、プリスプリットはあたかも切削予定面に沿う破碎帯となり、各装薬孔をやがて粗に配列し爆薬をデカップリング装薬した場合とか、いわゆるソフトな火薬を用いた場合には、プリスプリットは各装薬孔を結ぶへアクラックとなることが多い。そこでプリスプリットを大きく2つに分類し前者のようないわゆるプリスプリットを破碎帶型プリスプリット、後者のようないわゆるプリスプリットをへアクラック型プリスプリットと呼ぶことにする。破碎帶型プリスプリットは母体となる材料に比べ外力に対して変形しやすい状態にはなっており、へアクラック型スプリットは、母体となる材料がプリスプリットにおいて結合力を失っている状態であると考えられる。

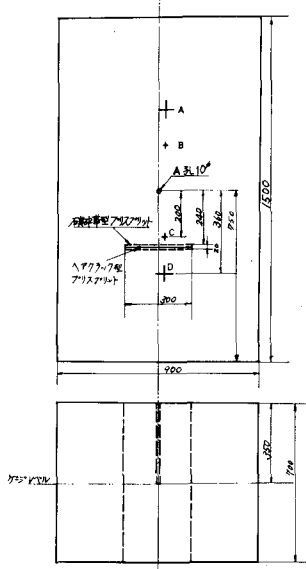
今回実施した応力解析は第1図に示したようなセメントモルタルブロックを用いて実施した実験結果

* 現在 日本アイビーエム株式会社勤務

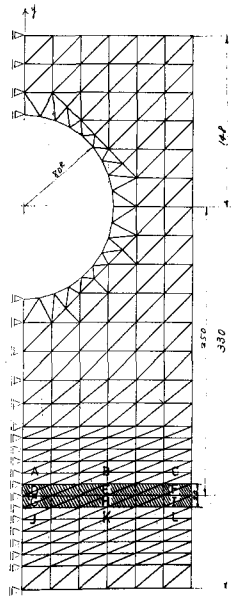
果と対比して検討し得るよう、できるだけ実験条件と同一となるように設定したモデルを用いて行った。すなわち、縦150cm、横90cm、厚さ70cmのブロック内の図示の位置に破碎帯型およびヘアクラック型のプリスプリットを設定し、A孔を本爆破用の装薬孔とし、この内壁に爆発生成ガスによる圧力が作用するものとして解析を行った。ブロックのヤング率は、 $2.304 \times 10^5 \text{ kg/cm}^2$ 、ポアソン比0.100を、強度としては、引張強度 46.7 kg/cm^2 を用い、破碎帯の弾性定数としては、ヤング率 $2.785 \times 10^4 \text{ kg/cm}^2$ 、ポアソン比0.299の値を用いた。なお、ヘアクラック型の場合は、そこで材料が不連続となつていると考えた。なお、上記の値は実験を行なった時に用いた材料の材料試験の結果から得られた値である。

モデルの大きさ、形状、設定した条件を考慮して、破碎帯型の場合は不均質弹性体の、ヘアクラック型の場合は不連続弹性体の平面ひずみ問題として取り扱うこととし、有限要素法を用いて解析を行なった。第2図から第4図までは有限要素法における要素分割を部分ごとに分離して見やすいように示した図であって実際のモデルは第1図～第2図の半円形の部分に入りそれぞれ第3図の長方形のくぼみに入った状態のものである。モデルは上下面に対して対象であるから図に示すように境界条件を用いて解析した。なお、第2図、第3図および第4図に示した要素分割をそれぞれ部分1、部分2、部分3と呼ぶことにする。

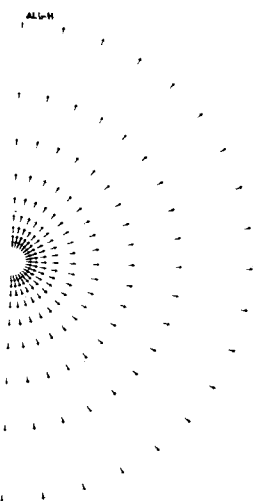
第5図～第8図はモデル内にプリスプリットが存在しない場合、すなわち、均質なブロック内にあら装薬孔内にガス圧が作用した場合に材料内に発生する変位ベクトルの方向を部分1と2について示したものであつて、第5図、第6図が全くき裂が発生していない場合であり、第6図および第7図は装薬孔内壁から y 軸の正および負方向に長さが装薬孔半径の10.2倍のき裂が生成した場合の計算結果を示したものである。これらの図から明らかのように、き裂が進展する方向にある点はき裂の先端に近づく方向に変位することがわかる。すなわち、き裂はその先端にある粒子を引き寄せながら発達していくことがわかる。この現象をき裂先端の材料吸引効果と呼ぶことにする。第9図と第10図とはそれぞれ破碎帯型およびヘアクラック型プリスプリットが存在する場合に装薬孔内壁にあら一定の大きさの圧力が作用しており、装薬孔内壁から y 軸の正および負方向に、すなわち、対称面に沿って装薬孔内壁から装薬孔半径の10.2倍の長さのき裂が生成している場合について材料内の各点の変位の大きさをそれぞれ 1000 倍および 10000 倍して示してモデル全体の変位の概念を示した図である。また第11図は本爆破によつて対称面に生成したき裂が破碎帯型プリスプリットに到達した場合の変位の大きさを 100 倍してモデル全体の変位の概念として示した図である。なお、これらの図においては部分1の場所は除いてある。第9図から、装薬孔内にガス圧が作用していふにもかかわらず破碎帯型プリスプリットの幅ほどの中央部、すなわち、第3図に示したD、E、G、Hの部分において装薬孔内壁から発達してくるき裂のき裂先端の材料吸引効果によつて大きくなつてへることがわかる。また第10図から、ヘアクラック型プリスプリットは、ガス圧が装薬孔内壁に作用し始めてもいまだ装薬孔内壁にき裂が発生していなければ、装薬孔内壁に作用するガス圧によつて closed crack となつているが、装薬孔内壁からプリスプリット方向にいったんある程度の長さのき裂が発達すると、き裂先端の材料吸引効果により open crack となることがわかる。このようにして、装薬孔内にガス圧が作用していても、き裂が発達してくるとプリスプリットを通しての力の伝達はおこらなくなり、つい



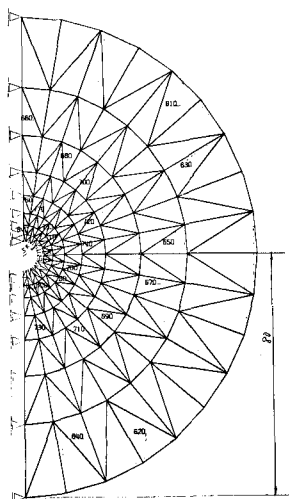
第1図 応力解析モデル



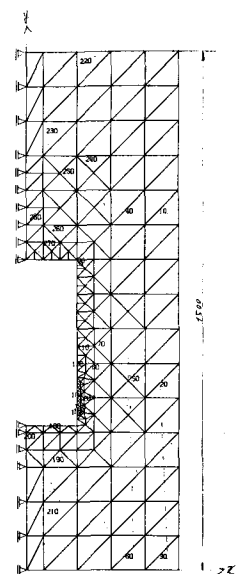
第3図 要素分割
(部分2)



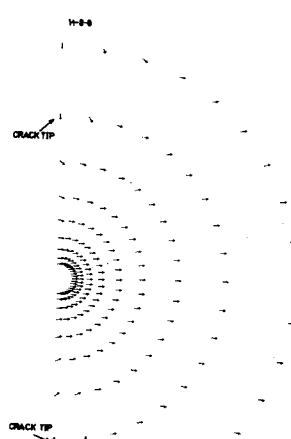
第5図 均値化場合の裂縫孔周辺の
変位ベクトルの方向



第2図 要素分割
(部分1)

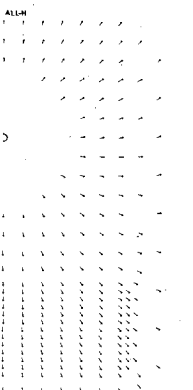


第4図 要素分割
(部分3)

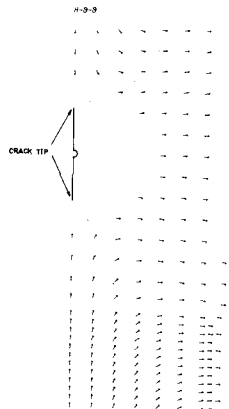


第6図 均質化場合におけるき裂
発生後の変位ベクトルの方向

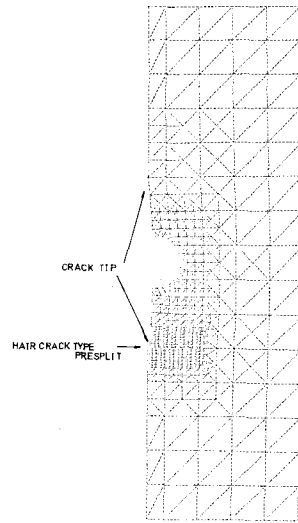
にき裂がブリスプリットに達すると第11図に示すようにこのき裂はガスの逸散する道となり、ブリスプリットの端部に応力集中がおこるもの、ブリスプリットがある程度の長さをもてば、本爆破によるき裂はブリスプリットで制止されることになる。第12図は第5図から第11図までの図からとくにへアクラック型ブリスプリットの場合について、ブリスプリットが本爆破によるき裂を防止する機構を説明してある図である。



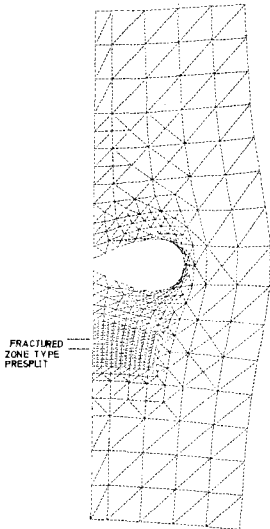
第7図 均質な場合の
変位ベクトルの方向



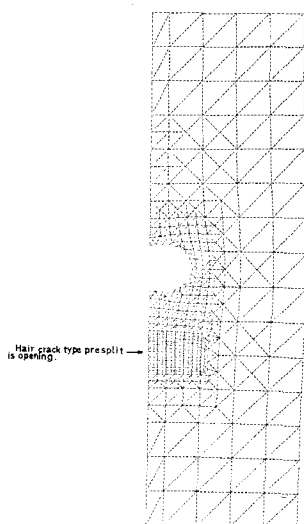
第8図 均質な場合に
おけるき裂発生後の変位
ベクトルの方向



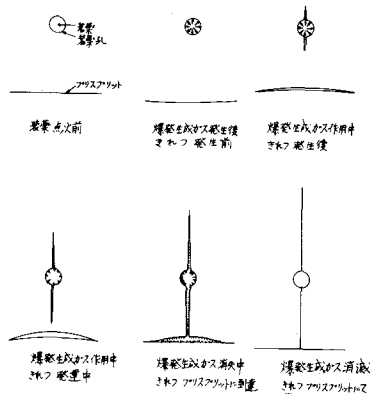
第9図 ヘアクラック型プリスプリットに
き裂が到達した場合のモデル全体の
変形の概念図



第10図 破碎帯型プリスプリットが
存在する場合におけるき裂発生後
のモデル全体の変形の概念図



第11図 ヘアクラック型プリスプリット
が存在する場合におけるき裂
発生後のモデル全体の変形の概念図



プリスプリットにおいて本爆破により引き止められた構造

3. 結 言

今回の解析によって得られた結果を要約すればつぎのとおりである。(1)爆源を中心とする半径方向のき裂が発達するところには、き裂先端の材料吸引効果が現れる。(2)薬薬孔内壁からある程度の長さのき裂が発達するとプリスプリットはき裂先端の材料吸引効果によってたとえ Closed crack であっても Open crack となる。(3)このため プリスプリットを通じて力の伝達はおこらなくなる。(4)本爆破によるき裂の先端がプリスプリットに接近するほど(2)(3)の傾向は強まる。(5)本爆破によるき裂がプリスプリットに達したとき最も破壊しやすい部分はプリスプリットの端の部分である。(6)プリスプリットの長さが短い場合を除けばプリスプリットはき裂を制止することができる。これらのこととは実験的にも確かめられた。

なお本研究に用いた計算機は京都大学大型計算機センターの FACOM 230-60, 270-20/30 および日本アイ・ビー・エム大阪データセンターの IBM S/360 M/65 である。